

(2) Det tas hensyn til virkningen på forbindelsens styrke som følge av langtidslaster eller halvårslaster som veksler mellom en dimensjonerende strekkraft  $F_{t,Ed}$  og en dimensjonerende trykkraft  $F_{c,Ed}$  ved å dimensjonere forbindelsen for henholdsvis  $(F_{t,Ed} + 0,5 \times F_{c,Ed})$  og  $(F_{c,Ed} + 0,5 \times F_{t,Ed})$ .

## 8.2 Tverrbelastede stavformede forbindere

### 8.2.1 Generelt

(1) For bestemmelse av den karakteristiske kapasiteten til forbindelser med stavformede forbindere av metall skal bidragene fra flytegrensen, hullkantfastheten og uttrekksmotstanden til forbinde ren vurderes.

### 8.2.2 Tre mot tre og platemateriale mot tre

(1) Den karakteristiske kapasiteten for spikre, kramper, bolter, dybler og skruer settes lik den minste verdien for hver forbinde r per snitt (skjærplan), av de beregnet fra følgende uttrykk (se fig 8.2):

- For enkeltsnittede forbindere:

$$F_{v,Rk} = \min \left\{ \begin{array}{l} f_{h,1,k} t_1 d \quad (a) \\ f_{h,2,k} t_2 d \quad (b) \\ \frac{f_{h,1,k} t_1 d}{1 + \beta} \left[ \sqrt{\beta + 2\beta^2 \left[ 1 + \frac{t_2}{t_1} + \left( \frac{t_2}{t_1} \right)^2 \right] + \beta^3 \left( \frac{t_2}{t_1} \right)^2} - \beta \left( 1 + \frac{t_2}{t_1} \right) \right] + \frac{F_{ax,Rk}}{4} \quad (c) \\ 1,05 \frac{f_{h,1,k} t_1 d}{2 + \beta} \left[ \sqrt{2\beta(1 + \beta) + \frac{4\beta(2 + \beta)M_{y,Rk}}{f_{h,1,k} d t_1^2}} - \beta \right] + \frac{F_{ax,Rk}}{4} \quad (d) \\ 1,05 \frac{f_{h,1,k} t_2 d}{1 + 2\beta} \left[ \sqrt{2\beta^2(1 + \beta) + \frac{4\beta(1 + 2\beta)M_{y,Rk}}{f_{h,1,k} d t_2^2}} - \beta \right] + \frac{F_{ax,Rk}}{4} \quad (e) \\ 1,15 \sqrt{\frac{2\beta}{1 + \beta}} \sqrt{2M_{y,Rk} f_{h,1,k} d} + \frac{F_{ax,Rk}}{4} \quad (f) \end{array} \right. \quad (8.6)$$

- For dobbeltsnittede forbindere:

$$F_{v,Rk} = \min \left\{ \begin{array}{l} f_{h,1,k} t_1 d \quad (g) \\ 0,5 \times f_{h,2,k} t_2 d \quad (h) \\ 1,05 \times \frac{f_{h,1,k} t_1 d}{2 + \beta} \left[ \sqrt{2\beta(1 + \beta) + \frac{4\beta(2 + \beta)M_{y,Rk}}{f_{h,1,k} d t_1^2}} - \beta \right] + \frac{F_{ax,Rk}}{4} \quad (j) \\ 1,15 \times \sqrt{\frac{2\beta}{1 + \beta}} \sqrt{2 \times M_{y,Rk} f_{h,1,k} d} + \frac{F_{ax,Rk}}{4} \quad (k) \end{array} \right. \quad (8.7)$$

med

$$\beta = \frac{f_{h,2,k}}{f_{h,1,k}} \quad (8.8)$$

der

$F_{v,Rk}$  er den karakteristiske kapasiteten per snitt per forbinde r;

$t_i$  er tre- eller platetykkelsen eller inntrengningsdybden med  $i$  lik enten 1 eller 2 (se også 8.3 til 8.7)

- $f_{h,i,k}$  er den karakteristiske hullkantfastheten til tredelen  $i$ ;
- $d$  er forbindeens diameter;
- $M_{y,Rk}$  er forbindeens karakteristiske flytemoment;
- $\beta$  er forholdet mellom komponentenes hullkantfasthet;
- $F_{ax,Rk}$  er forbindeens karakteristiske uttrekkskapasitet, se (2).

**MERKNAD** Duktiliteten til forbindelser kan sikres ved å bruke relativt slanke forbindere. I slike tilfeller er bruddformene (f) og (k) bestemmende.

(2) I uttrykkene (8.6) og (8.7) er det første leddet på høyre side kapasiteten i henhold til Johansens flyteleddteori, mens det andre leddet  $F_{ax,Rk}/4$  er bidraget fra den såkalte tau-effekten ("rope effect"). Bidraget til kapasiteten fra tau-effekten begrenses til følgende prosentdel av Johansen-delen:

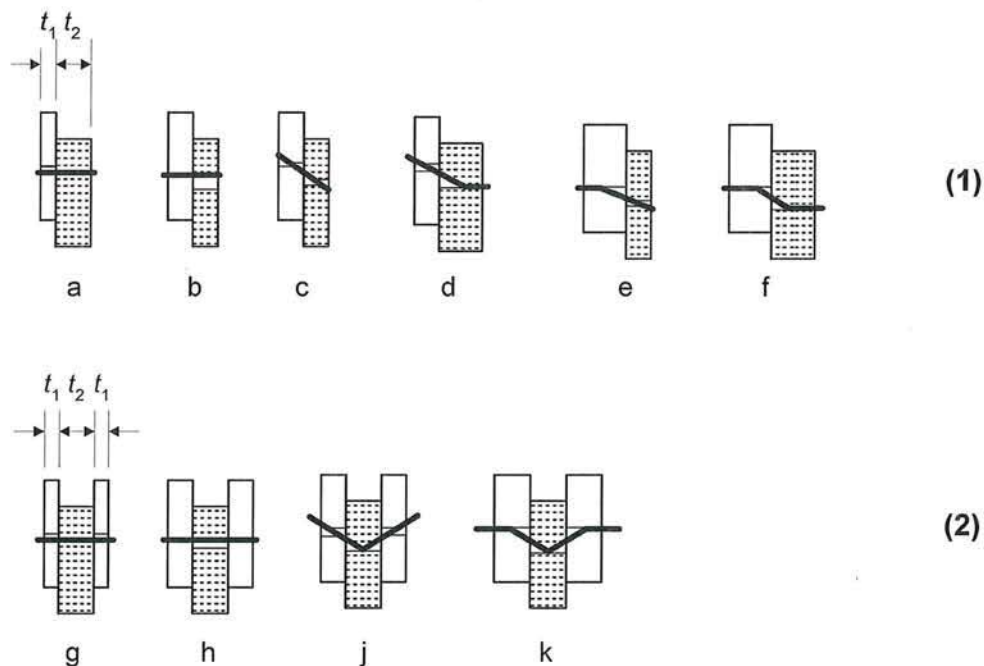
– runde spikre	15 %
– spikre med kvadratisk tverrsnitt	25 %
– andre spikre	50 %
– skruer	100 %
– bolter	25 %
– dybler	0 %

Hvis  $F_{ax,Rk}$  er ukjent, settes bidraget fra tau-effekten lik null.

For enkeltsnittede forbindere settes den karakteristiske uttrekkskapasiteten  $F_{ax,Rk}$  som den minste av kapasitetene i de to komponentene. De forskjellige bruddformene er vist på figur 8.2. For uttrekkskapasiteten  $F_{ax,Rk}$  for bolter kan det tas hensyn til motstanden som underlagsskivene gir, se 8.5.2(2).

(3) Hvis det ikke er gitt noen dimensjoneringsregler nedenfor, bør den karakteristiske hullkantfastheten  $f_{h,k}$  bestemmes etter NS-EN 383 og NS-EN 14358.

(4) Hvis det ikke er gitt noen dimensjoneringsregler nedenfor, bør det karakteristiske flytemomentet  $M_{y,Rk}$  bestemmes etter NS-EN 409 og NS-EN 14358.



**Tegnforklaring** (1) Enkeltsnittede (2) Dobbeltsnittede

**MERKNAD** Bokstavene tilsvarer referansene i uttrykkene (8.6) og (8.7).

**Figur 8.2 – Bruddformer for tre- og plateforbindelser**